

Supplementary information

Title: Application of an Electronic Nose as a New Technology for Rapid Detection of Adulteration in Honey

Wellington Belarmino Gonçalves¹, Wanderson Sirley Reis Teixeira², Evelyn Perez Cervantes³, Mateus de Souza Ribeiro Mioni², Aryele Nunes da Cruz Encide Sampaio², Otávio Augusto Martins², Jonas Gruber¹ and Juliano Gonçalves Pereira^{2,*}

¹ Instituto de Química, Universidade de São Paulo, São Paulo 05508-000, SP, Brazil

² Faculdade de Medicina Veterinária e Zootecnia, Universidade Estadual Paulista "Júlio de Mesquita Filho" (UNESP), Botucatu 18610-000, SP, Brazil

³ Instituto de Matemática e Estatística, Universidade de São Paulo, São Paulo 05508-090, SP, Brazil

* Correspondence: juliano.pereira@unesp.br

Table S1: RRs data obtained by sensors during individual cycles.

Sample	A1	A2	A3	A4
TH1	0.071	0.053	0.054	0.048
TH1	0.057	0.045	0.041	0.041
TH1	0.066	0.051	0.048	0.043
TH1	0.080	0.067	0.064	0.054
TH1	0.090	0.081	0.081	0.065
TH1	0.084	0.074	0.073	0.062
TH1	0.075	0.063	0.062	0.052
TH2	0.050	0.044	0.043	0.037
TH2	0.046	0.038	0.035	0.037
TH2	0.075	0.064	0.062	0.054
TH2	0.062	0.051	0.044	0.046
TH2	0.054	0.048	0.042	0.040
TH2	0.049	0.043	0.040	0.037
TH2	0.068	0.071	0.061	0.052
TH3	0.069	0.060	0.041	0.039
TH3	0.082	0.091	0.074	0.061
TH3	0.060	0.064	0.047	0.046
TH3	0.047	0.057	0.047	0.038
TH3	0.058	0.066	0.044	0.048
TH3	0.054	0.062	0.044	0.044
TH3	0.040	0.049	0.039	0.041
TH4	0.049	0.040	0.048	0.043
TH4	0.057	0.040	0.048	0.051
TH4	0.051	0.041	0.046	0.052
TH4	0.045	0.041	0.043	0.040
TH4	0.046	0.042	0.046	0.048
TH4	0.054	0.052	0.081	0.050
TH4	0.048	0.038	0.049	0.036
TH5	0.077	0.069	0.083	0.062
TH5	0.086	0.060	0.090	0.047
TH5	0.065	0.056	0.071	0.048
TH5	0.081	0.066	0.093	0.048
TH5	0.091	0.067	0.105	0.058
TH5	0.085	0.063	0.091	0.050
TH5	0.087	0.059	0.084	0.042

TH6	0.085	0.067	0.097	0.045
TH6	0.078	0.074	0.119	0.055
TH6	0.080	0.064	0.107	0.056
TH6	0.071	0.058	0.091	0.047
TH6	0.072	0.058	0.082	0.048
TH6	0.073	0.059	0.089	0.038
TH6	0.065	0.054	0.086	0.049
AH1	0.088	0.082	0.127	0.051
AH1	0.080	0.064	0.103	0.052
AH1	0.071	0.079	0.130	0.053
AH1	0.072	0.074	0.090	0.054
AH1	0.062	0.068	0.092	0.054
AH1	0.074	0.068	0.093	0.044
AH1	0.086	0.085	0.145	0.056
AH2	0.089	0.087	0.124	0.057
AH2	0.090	0.080	0.126	0.058
AH2	0.067	0.081	0.119	0.059
AH2	0.068	0.082	0.103	0.060
AH2	0.069	0.091	0.112	0.060
AH2	0.070	0.093	0.143	0.049
AH2	0.083	0.087	0.129	0.062
AH3	0.076	0.103	0.152	0.069
AH3	0.064	0.118	0.161	0.071
AH3	0.065	0.089	0.116	0.058
AH3	0.066	0.089	0.115	0.060
AH3	0.067	0.081	0.106	0.045
AH3	0.068	0.071	0.106	0.045
AH3	0.068	0.082	0.106	0.030
AH4	0.083	0.081	0.114	0.046
AH4	0.069	0.082	0.103	0.047
AH4	0.069	0.072	0.092	0.048
AH4	0.056	0.095	0.116	0.065
AH4	0.070	0.086	0.095	0.048
AH4	0.070	0.076	0.110	0.049
AH4	0.056	0.077	0.098	0.050
AH5	0.071	0.101	0.136	0.068

AH5	0.087	0.102	0.138	0.069
AH5	0.072	0.090	0.122	0.052
AH5	0.072	0.105	0.139	0.070
AH5	0.072	0.107	0.145	0.071
AH5	0.088	0.096	0.118	0.054
AH5	0.074	0.125	0.153	0.055
AH6	0.119	0.141	0.200	0.094
AH6	0.119	0.160	0.209	0.096
AH6	0.104	0.164	0.219	0.098
AH6	0.121	0.188	0.250	0.100
AH6	0.106	0.147	0.186	0.082
AH6	0.091	0.147	0.183	0.061
AH6	0.092	0.129	0.143	0.061
AH7	0.092	0.141	0.185	0.061
AH7	0.092	0.143	0.169	0.083
AH7	0.092	0.129	0.154	0.062
AH7	0.094	0.130	0.172	0.085
AH7	0.094	0.134	0.159	0.064
AH7	0.094	0.119	0.145	0.065
AH7	0.094	0.121	0.164	0.089
AH8	0.078	0.148	0.179	0.093
AH8	0.078	0.117	0.145	0.095
AH8	0.078	0.119	0.148	0.071
AH8	0.078	0.103	0.132	0.073
AH8	0.062	0.103	0.135	0.075
AH8	0.079	0.105	0.491	0.075
AH8	0.063	0.086	0.170	0.050
AH9	0.081	0.102	0.125	0.050
AH9	0.065	0.085	0.125	0.077
AH9	0.065	0.086	0.127	0.103
AH9	0.065	0.105	0.109	0.051
AH9	0.082	0.088	0.109	0.053
AH9	0.065	0.089	0.111	0.081
AH9	0.065	0.091	0.113	0.054
AH10	0.082	0.113	0.137	0.056
AH10	0.065	0.115	0.120	0.086
AH10	0.082	0.096	0.120	0.057
AH10	0.066	0.118	0.120	0.057
AH10	0.066	0.118	0.143	0.059
AH10	0.066	0.100	0.125	0.059
AH10	0.066	0.100	0.125	0.091
AH11	0.082	0.128	0.156	0.094
AH11	0.065	0.085	0.136	0.062
AH11	0.066	0.106	0.109	0.062
AH11	0.050	0.083	0.106	0.062
AH11	0.051	0.082	0.080	0.062
AH11	0.069	0.082	0.122	0.062
AH11	0.068	0.083	0.122	0.065

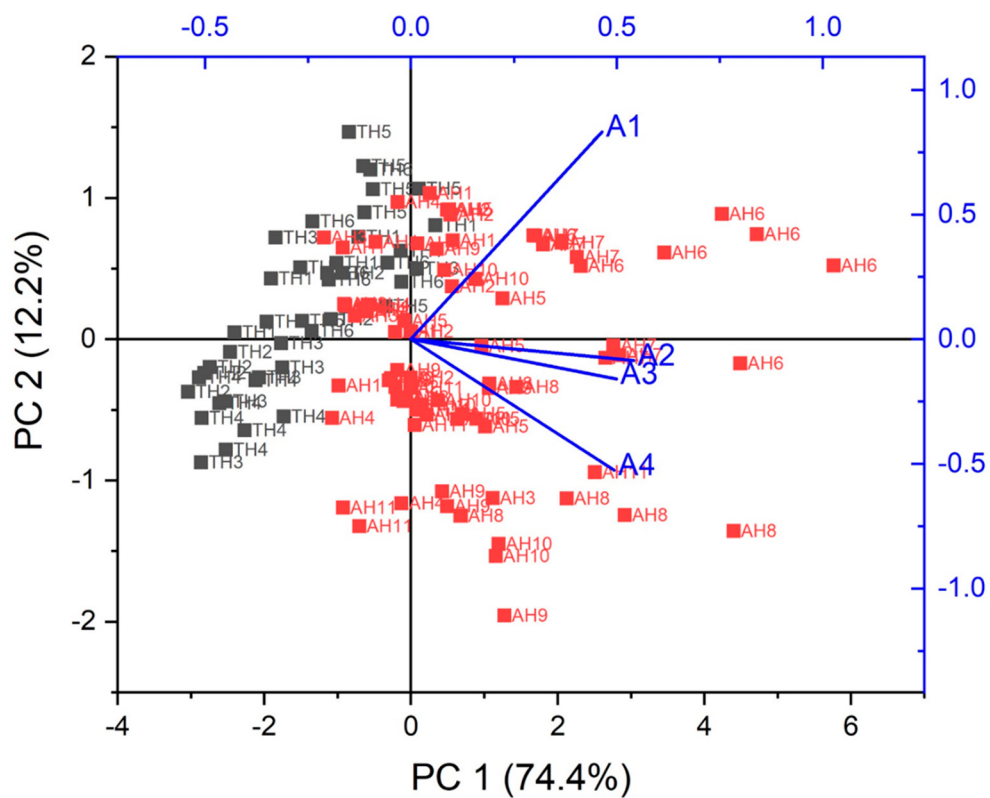


Figure S1: PCA biplot obtained for authentic (TH, ■) and adulterated honey (AH, ■) based on individual cycles RRs data.